

東支那海의 1978年 夏季 颱風海溢의 算定

崔秉昊
成均館大學校 土木工學科

Computation of the Typhoon Surges of July-August 1978 in the East China Sea

Byung Ho Choi

Dept. of Civil Engineering, Sungkyunkwan University, Suwon 170

要約: 1978年 夏季의 두 颱風海溢의 動的인 狀況이 黃海와 東支那海의 垂直積分된 有限差分모델에 依해 檢討되었다. 모델에 依해 算定된 海溢高는 우리나라 西海岸의 主要檢潮所(仁川, 群山, 木浦, 濟州, 麗水港)에서의 觀測結果와 比較検討되었다. 初期結果가 提示되고 討議되었다. 이 海溢研究는 東支那海의 Seasat 衛星 高度計資料의 更正作業을 하는 過程에서 遂行되었다.

Abstract: Two Typhoon surges generated during the period of July-August 1978 are investigated dynamically using a vertically-integrated finite-difference model of the Yellow Sea and the East China Sea. Computed residuals are compared with hourly records from selected tide gauges (Inchon, Kunsan, Mokpo, Jeju, Yeosu) along the coast of Korea. Some of the preliminary results are presented and discussed. This initial hindcast study has been undertaken in association with SEASAT-A altimeter data correction work in the East China Sea.

序 言

過去十餘年에 걸친 期間동안 暴風海溢(storm surge) 算定을 爲한 數值모델이 廣範圍하게 成功의으로 利用되어 왔으며 移動性 低氣壓 特히 颱風, Hurricane에 의해 被害를 입는 沿岸海洋國들은 이러한 數值모델을 骨格으로하는 實際豫報體系(operational forecasting system)를樹立하여 活用하는 段階에 있다. 우리나라의 境遇每年 热帶性低氣壓에 依한 颱風被害가 큰데 力學原理에 立脚한 颱風海溢豫報體系가樹立되어 活用되지 못하는 理由로서는 颱風自體의豫報가 어려우며 또한 颱風이 隨伴하는 風域의 推定을信賴性있게遂行하기 어려운 데 要因이 있다.

이러한 難點은 存在하나 過去의 颱風海溢에 對한 hindcast研究를 徹底하게遂行하여 特異한 颱風經路 및 氣象狀況에 對한 東支那海와 黃海

의 沿岸海域의 反應形態를 斜明하는 研究가 一次의으로 必要하다. 一連의 徹底한 hindcast 研究結果들이 있으면 實際豫報를 統計的인 分析結果와 併合하여 遂行하는 方法과 氣象豫報資料를直接 海溢모델에 入力하여 颱風海溢을豫報하는方法을 相互 檢討하여 適合한 技法을 選擇할 수 있을 것이다.

本稿에 收錄된 颱風海溢의 數值모델實驗은 過去의 天氣圖資料에 依해 氣象 input資料를 抽出하여 모델을 利用하여 颱風海溢을 算定하고 制限된 觀測資料와 比較하여 適合性을 檢討하는 初期段階의 作業이 있으며 一貫의 海溢算定體系를樹立하는 데 力點을 두었다. 1978年 夏季의 颱風期間이 選定되었는데 이는 이期間에 Seasat-A mission의 高度計(altimeter) 資料가 있으므로 東支那海의 高度計資料更正作業과 關聯하여 本研究도 遂行되었다.

이러한 一連의 研究는 颱風海溢豫報體系의樹立이라는 防災的인 側面以外에도 氣象狀況에 依

해 誘發되는 陸棚海水의 循環形態斜明 및 이에
關聯된 動的堆積體系의 研究와도 密接한 關係가
있다. 黃海와 東支那海의 現場海流觀測을 包含
한 廣範圍한 國際共同 海洋觀測프로그램이 展開
될 展望이며 沿岸海面觀測資料의 交換도 不遠間
이루어 질 것으로 보아 追後의 모델改善은 樂觀
의이다.

數值모델

球面座標上에 形成된 移流加速項과 海面應力,
海底摩擦項, 海面氣壓 勾配項을 包含한 非線形
潮汐 및 海溢모델의 基本方程式은 下記와 같다.
(Flather, 1976; Davies, 1977)

$$\begin{aligned} & \frac{1}{R \cos \phi} \left\{ \frac{\partial}{\partial \chi} (Hu) + \frac{\partial}{\partial \phi} (Hv \cos \phi) \right\} \\ & + \frac{\partial \xi}{\partial t} = 0 \end{aligned} \quad (1)$$

$$\begin{aligned} & \frac{\partial u}{\partial t} + \frac{u}{R \cos \phi} \frac{\partial u}{\partial \chi} + \frac{v}{R} \frac{\partial u}{\partial \phi} \\ & - \frac{uv \tan \phi}{R} - 2\omega \sin \phi v + \frac{k_b u \sqrt{u^2 + v^2}}{H} \\ & - \frac{F_s}{\rho H} + \frac{1}{\rho R \cos \phi} \frac{\partial P_a}{\partial \chi} \\ & + \frac{g}{R \cos \phi} \frac{\partial \xi}{\partial \chi} = 0 \end{aligned} \quad (2)$$

$$\begin{aligned} & \frac{\partial v}{\partial t} + \frac{u}{R \cos \phi} \frac{\partial v}{\partial \chi} + \frac{v}{R} \frac{\partial v}{\partial \phi} \\ & + \frac{u^2 \tan \phi}{R} + 2\omega \sin \phi u + \frac{k_b v \sqrt{u^2 + v^2}}{H} \\ & - \frac{G_s}{\rho H} + \frac{1}{\rho R} \frac{\partial P_a}{\partial \phi} - \frac{g}{R} \frac{\partial \xi}{\partial \phi} = 0 \end{aligned} \quad (3)$$

式 (1)~(3)은 垂直積分된 水動力學的 方程式인데 여기서,

t 時間

χ, ϕ 東經 및 緯度

ξ 靜止海面上의 海面水位

h 靜止海面下의 水深

$H = h + \xi$ 總水深

R 地球의 曲率半徑

g 重力加速度

ω 地球回轉의 角速度

k_b 海底摩擦係數

F_s, G_s χ, ϕ 方向의 바람에 依한 海面應力成分

P_a 海面氣壓

u', v' 靜水面下 水深에서의 χ, ϕ 方向의 流速成分

u, v 水深平均된 流速成分으로 下記와 같다.

$$\begin{aligned} u &= \frac{1}{h + \xi} \int_{-h}^{\xi} u'(z) dz, \\ v &= \frac{1}{h + \xi} \int_{-h}^{\xi} v'(z) dz \end{aligned} \quad (4)$$

上記式 (1)~(3)은 移流項의 境遇 Roberts와 Weiss (1967)에 의해 提示된 angled-derivative scheme을 利用하여 數值解를 求하였다. 基本式 (1)~(3)의 有限差分形의 式은 Fig. 1에 提示된 有限差分格子體系를 利用하여 黃海 및 東支那海의 潮汐 및 海溢現象을 研究하기 위해 數值的으로 풀이되었는데 仔細한 數值解析에 의한 解는 이미 紹介되어 있으므로 여기서는 省略키로 한다. 球面座標格子體系의 格子間隔은 緯度上 1/5 度, 經度上 1/4度로서 北緯 38度에서 約 12海里이다. CFL安定條件이 安定된 計算을 위한 指針으로 利用되어 그 결과 決定된 Δt 는 225秒로서 1日當 384個의 timestep을 形成하였다. 海底摩擦

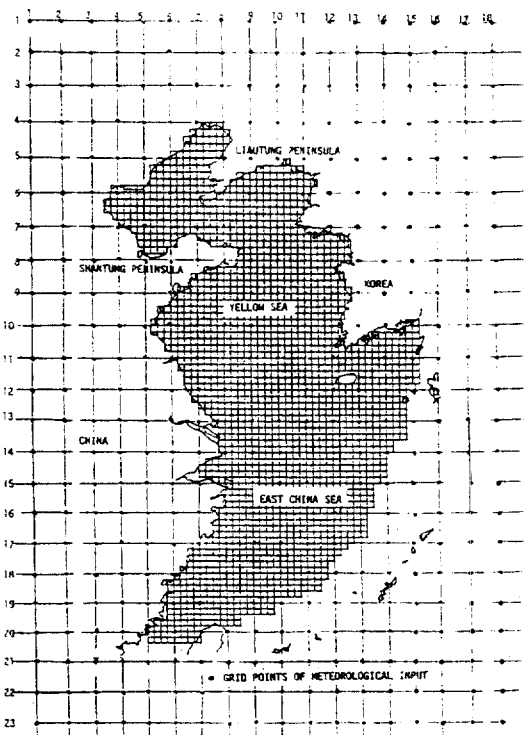


Fig. 1. Finite-difference grid of the East China Sea continental shelf sea model.

係數 k_b 는 一定한 数, 0.0025를 取하였다. 모델에 依한 ξ, u, v 의 算定은 $t=0$ 일 때 $\xi=u=v=0$ 인 初期靜止狀態로부터 出發하였는데 漫海에서는 海底의 摩擦消散率이 높아 初期攪亂效果가 빨리 除去되므로 hindcast하려는 始點보다 24後間前부터 모델算定을 始作하였다. 境界條件으로서 陸地境界에 直角인 方向의 流速은 없는 것으로 假定하고 外海境界面의 境界條件은 時間に 따른 海面水位 및 流速成分의 變化로서 規定한다. 即開放境界面의 海面變化는 下記와 같다.

$$\xi(x, \phi, t) = \xi_T(x, \phi, t) + \xi_M(x, \phi, t) \quad (5)$$

여기서 ξ_T 는 潮汐에 依한 海面變化이며 ξ_M 은 氣象影響에 依한 海面變化이다. 調和理論에 立脚하여 ξ_T 는 下記式으로 提示된다.

$$\begin{aligned} \xi_T(x, \phi, t) &= Z_0(x, \phi) + \sum_{i=1}^4 f_i H_i(x, \phi) \\ &\cos[V_i + \sigma_i t + U_i - g_i(x, \phi)] \end{aligned} \quad (6)$$

여기서

Z_0 平均海面

f_i, U_i 振幅과 位相의 18.6年變化를 考慮한 nodal factor

H_i 分潮 i 의 振幅

σ_i 分潮의 速度

V_i Greenwich에서 $t=0$ 에 시의 平衡分潮에 相應하는 位相

g_i 分潮의 遅角

인데 모델의 潮汐入力은 東支那海의 二次元潮汐 모델(Choi, 1980)에서 提示되었던 M_2, S_2, K_1 및 O_1 分潮가 利用되었으며 平均海面 Z_0 는 零을 取하였다. Nodal factor f_i, U_i 는 海溢算定期間의 첫 날값을 取하였다. 開放境界面에서의 氣象에 依한 海面變化, $\xi_M(x, \phi, t)$ 는 靜水壓法則을 利用하였다.

$$\xi_M(x, \phi, t) = [\bar{p} - P_a(x, \phi, t)]/\rho g \quad (7)$$

여기서 \bar{p} 는 平均海面氣壓으로 1012mbar를 取했으며 $P_a(x, \phi, t)$ 는 時間 t 일때 陸棚모델의 開放境界面 x, ϕ 에서의 海面氣壓이다. 더불어서 모델內部의 攪亂效果가 外海로 境界面을 通해 波汲되어 나갈 수 있도록 放射條件를 考慮하였는데 水深平均된 流速 q 와 海面 ξ 와의 關係로서 提示할 수 있다.

$$q = q_T + q_M + \frac{c}{h} (\xi - \xi_T - \xi_M) \quad (8)$$

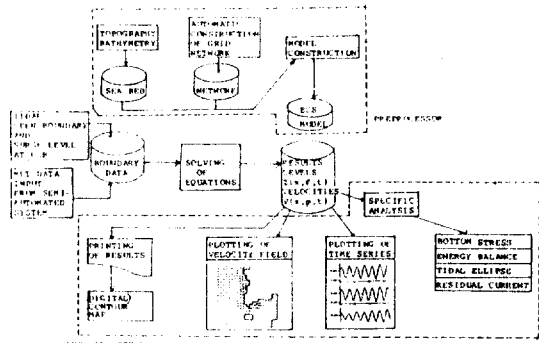


Fig. 2. Block diagram for computing surges in the Yellow and East China Seas.

여기서 $c=(gh)^{1/2}$, ξ_T 는 (6)式으로 賦與된다. $q_M=0$ 을 取하며 q_T 는 下記式으로 決定된다.

$$q_T = \sum_{i=1}^4 f_i \theta_i \cos(\sigma_i t + V_i + U_i - \gamma_i) \quad (9)$$

여기서 θ_i 는 i 分潮의 潮流成分의 振幅이며 γ_i 는 位相이고 f_i, σ_i, V_i 및 U_i 는 既 定義된 바 같은데 二次元潮汐모델에서 決定된 값들을 一次의 으로 取하였다. 모델은 潮汐과 氣象狀況을 함께 賦與(tide with surge)하여 算定할 수 있으며 또한 單獨的으로 潮汐(pure tide)과 海溢(pure surge)을 算定할 수 있도록 設計되었으며 算定結果는 一連의 過程이 體系的으로 處理될 수 있도록 하였는 바 全體의 概略圖가 Fig. 2에 提示되어 있다. 前回의 潮汐모델研究(Choi, 1980)에서 算定된 M_2, S_2, K_1 및 O_1 分潮의 潮位가 沿岸觀測結果와 比較되었는데 一般的으로 滿足한 一致를 보았으며 Larsen과 Cannon(1983)亦是 北緯32度 近海에서 觀測한 潮流가 모델의 算定潮流와 一般的인 一致를 하고 있어 採擇된 外海境界面의 潮汐入力의 信賴性이 있음을 立證한 바 있다.

氣象資料

式 (2)(3)을 풀이하기 為해서는 海溢算定期間을 通해 모델의 每 格子點마다 氣象條件에 依한 外力項인 海面風에 依한 應力成分 F_s, G_s 와 大氣氣壓勾配 P, Q ($P = \frac{1}{R \cos \phi} \frac{\partial P}{\partial x}, Q = \frac{1}{R} \frac{\partial P}{\partial \phi}$)를 算定해야 한다. 이 海域의 大氣數值豫報모델에 依한 氣壓資料가 現在에는 利用可能하지 않으므로 中央氣象臺의 每 6時間 天氣圖로 부터 風中心의 移動經路에 따라 每時間別 氣壓分布

를導出하고 digitizer를利用하여等壓線을digitizing한後 gridding技法을利用하여 Fig. 1에提示된每 $1^{\circ} \times 1^{\circ}$ 格子의氣壓을抽出한後 이를다시補間하여 모델內部의每格子마다海面氣壓을取하는從屬의in處理過程을取하였다. 다음段階로는算定된每格子의海面氣壓勾配로부터地衡風算出式에依해地衡風을算出한 다음一連의交換係數를適用하여海面風을算定하였는데交換係數는 Hasse와 Wagner(1974)가提示한經驗值을使用하였다.

$$W_s = A\hat{W} + B \quad (10)$$

여기서 W_s 및 \hat{W} 는各已海面風 및地衡風의强度(m/sec)이며 $A=0.443$, $B=2.92$ 이다. 地衡

風의方向과實際海面風이이루는角은大氣溫度와海水溫度와의差에依해提示(Findlater等, 1966; Duun-Christensen, 1975)될수있으나이期間의資料가없어現段階에서는 20° 를取하였다. 海面風으로부터海面應力を算定하기爲해서지금까지報告된바람의坑力係數들을檢討한結果Wu(1980, 1982)의報告值가最近까지의資料를利用한것이며適用風速의範圍도크므로이를取하였다.

$$C_D \times 10^3 = 0.80 + 0.065 W_s, \quad 0 < W_s < 50 \quad (11)$$

上記의一連의過程에依해每時間別氣壓勾配및海面應力分布가모델의各格子點마다即 P 와 F 는東向成分流速(u)算定點, Q 와 G 는北

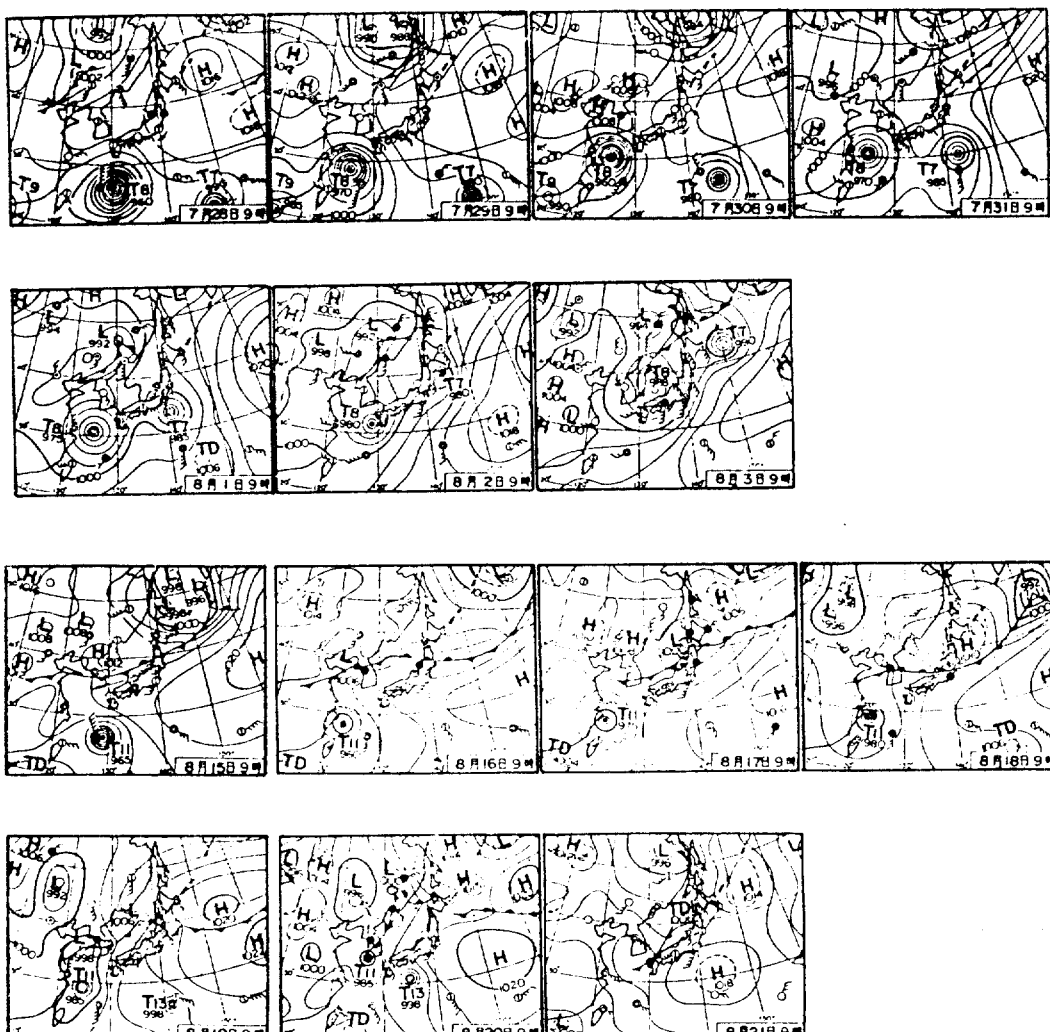


Fig. 3. Weather charts of the Typhoons Wendy and Carmen in 1978.

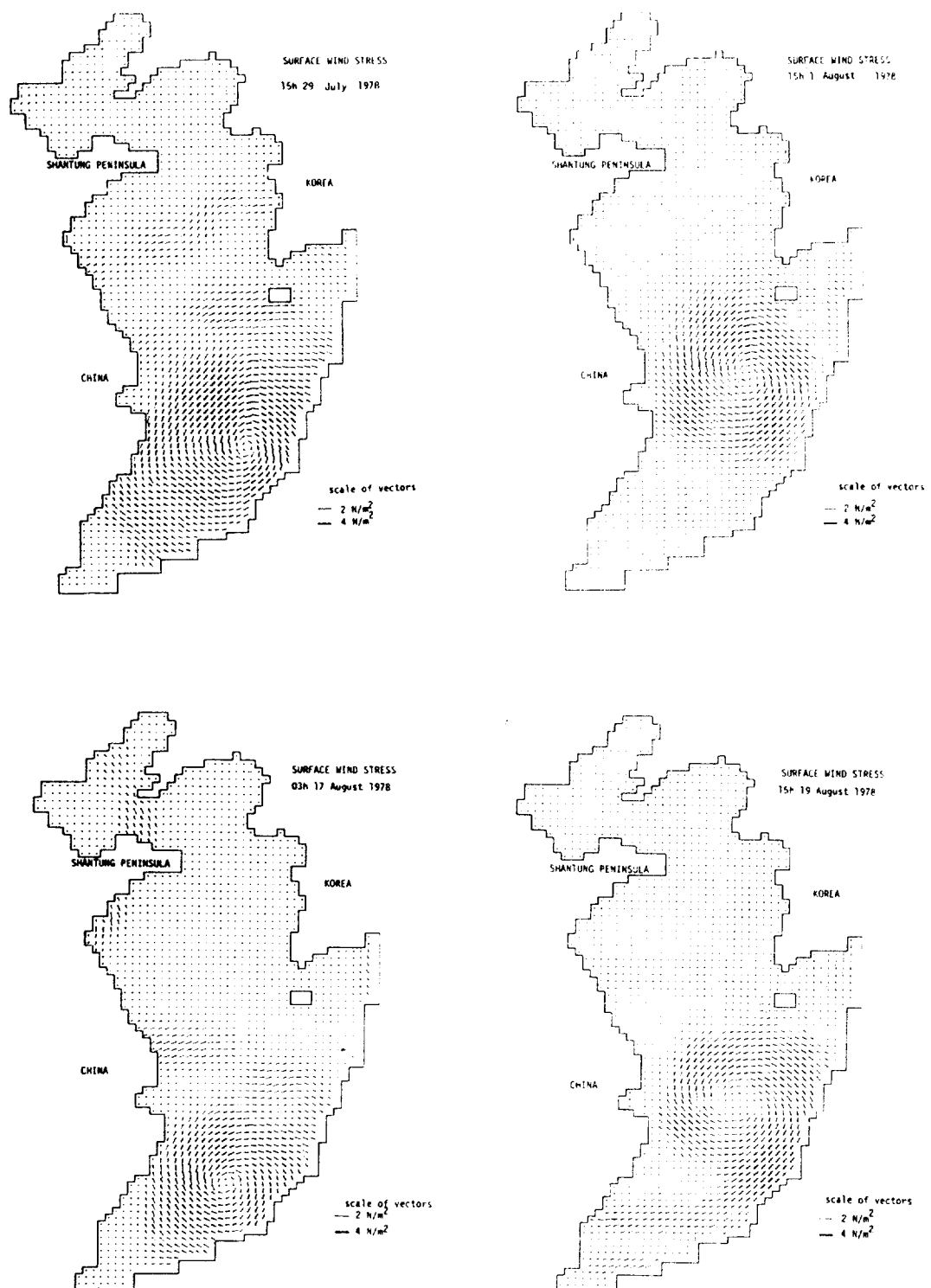


Fig. 4. Examples of computed wind stress driven by the Typhoon surges in 1978.

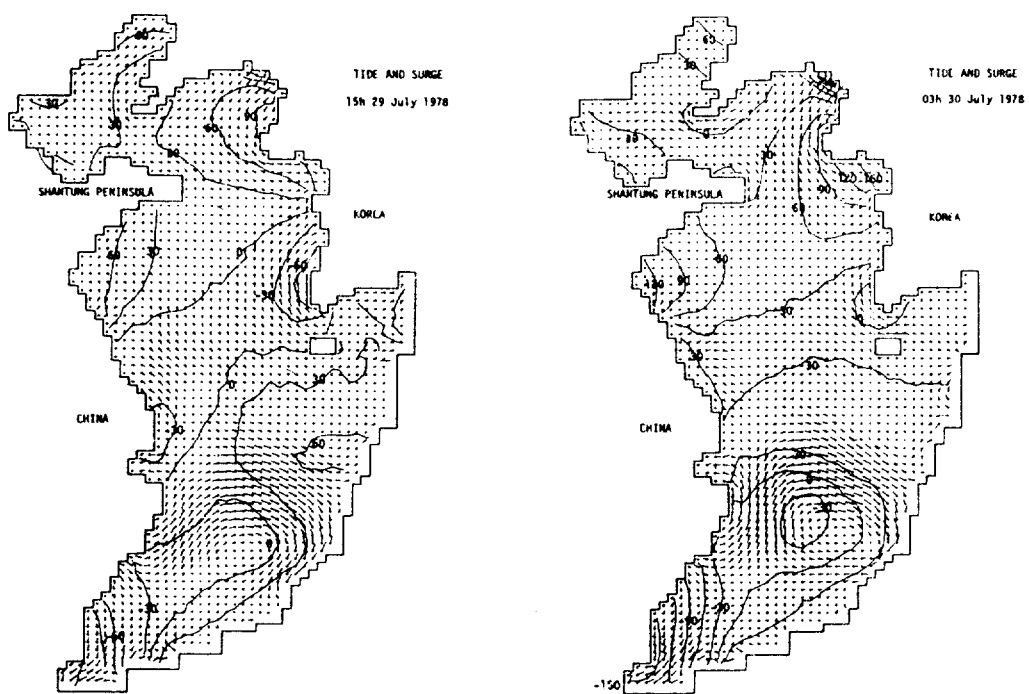


Fig. 5(a)

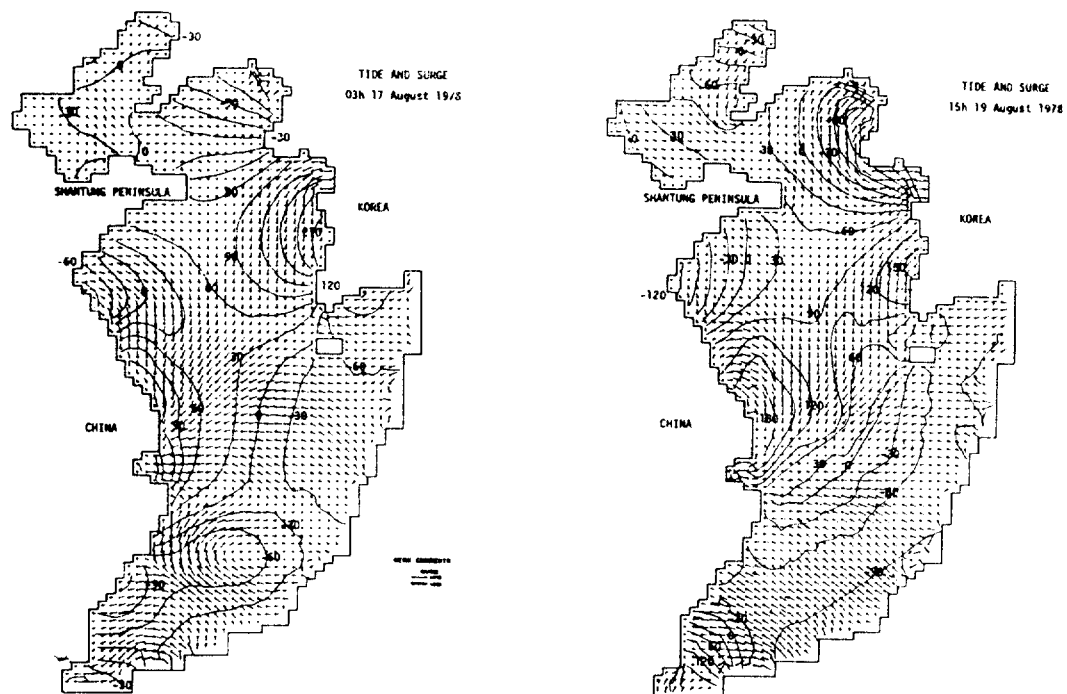


Fig. 5(b)

Fig. 5. Computed water level and currents produced by the tide and Typhoon surges.

向成分流速(v)算定點, P_o 는開放境界面格子의
算定點에 두颱風海溢期間(78年7月28日~8月
2日, 78年8月15日~8月21日)동안作成되어
氣象入力資料의時系列이形成되었는데 이過程
에依해算定된風域이滿足스러워야信賴性 있는
海溢의算定이遂行될수있다.

Fig. 3은颱風8號(Wendy號) 및 11號(Carmen號)가東支那海上을通過한후九洲北端 및 우리나라南海岸으로빠져나가는夏季의典型的의氣象形態를提示하는天氣圖이다. Fig. 4는前述한過程에依해算定된海面風의應力分布를提示하는데颱風中心圈周圍의反時計方向의强한應力分布가잘提示되고있다.

颱風海溢算定

모델算定은두颱風海溢에對해各己潮汐과氣象條件를 함께賦與한算定(RUN 1)과潮汐만(pure tide)의算定(RUN 2)이遂行되어潮汐과의相互作用이考慮된海溢算定은前者에서後者를每格子點, 每時間間隔마다減해서抽出(RUN 3)하였다. Fig. 5는潮汐과氣象條件을

함께賦與한RUN 1의結果를例示한것인데算定된海面(cm)分布와海流가同時에提示되어있다. 颱風中心圈의海面上昇및反時計方向의渦流形狀이잘例示되어있다. Fig. 6과그림7은RUN 1의時系列에서仁川,群山,木浦,濟州,麗水港의算定結果와檢潮所의觀測值와比較한것이다. 潮差가큰仁川港과群山港에서는低,高潮位附近의算定值와觀測值의誤差가크며木浦港의境遇는位相誤差가있다. Fig. 8은RUN 3의結果에서海溢高(cm)의分布와海溢에依한海流分布를抽出하여提示한것인데長江(揚子江)河口에1m가넘는海溢尖頭가發生하는것을提示하고있으며海溢에依한反時計方向의海流强度도强하게提示되어있다.

Fig. 9와Fig. 10은算定된우리나라西海岸檢潮所(仁川,群山,木浦,濟州,麗水港)의海溢高와觀測海溢高의比較이다. 觀測海溢時系列은每時間檢潮位時系列에서推定潮位時系列을減해서求한것으로前回의研究(韓國測地學會, 1983)에서整備된dataset으로부터取하였다. 提示된바와같이全體의인程度만이觀測

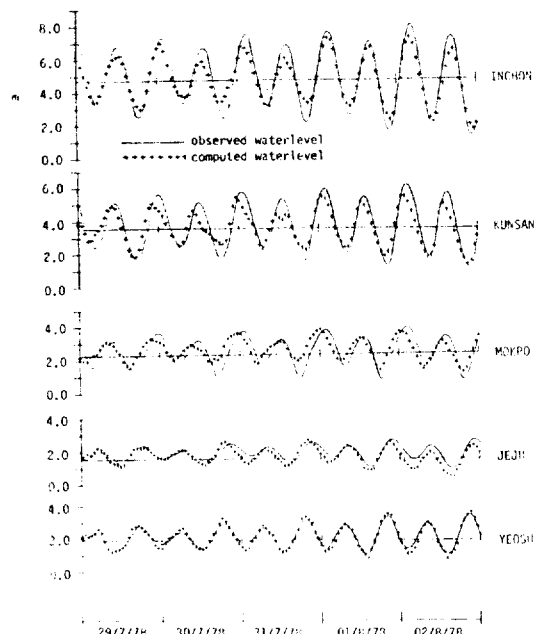


Fig. 6. Comparison of observed and computed water levels during the Typhoon Wendy period.

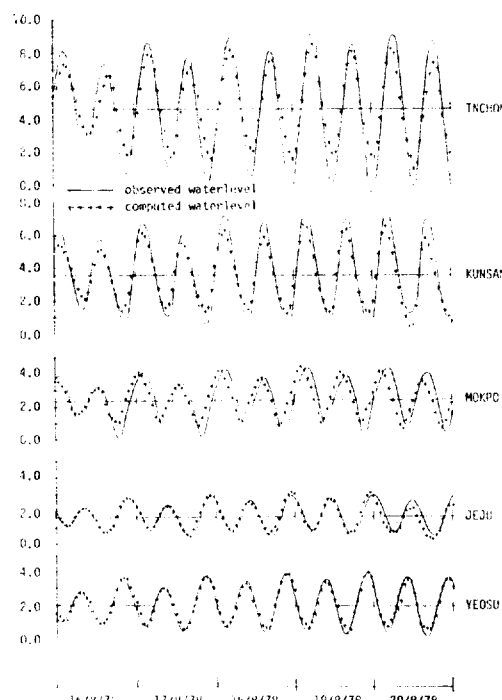


Fig. 7. Comparison of observed and computed water levels during the Typhoon Carmen period.

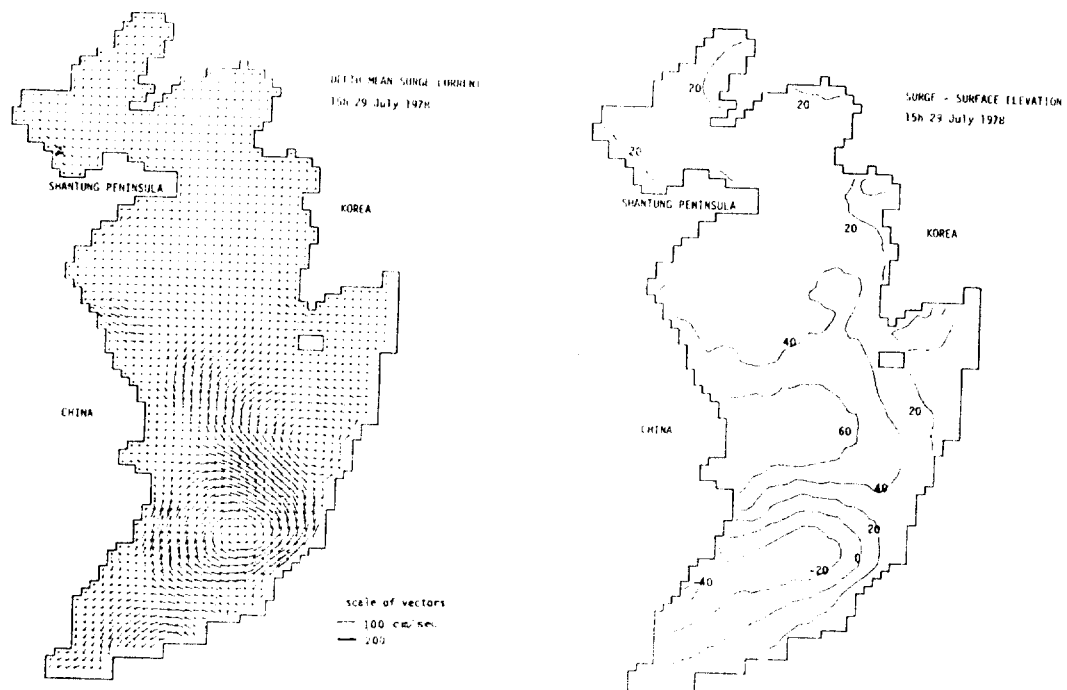


Fig. 8(a)

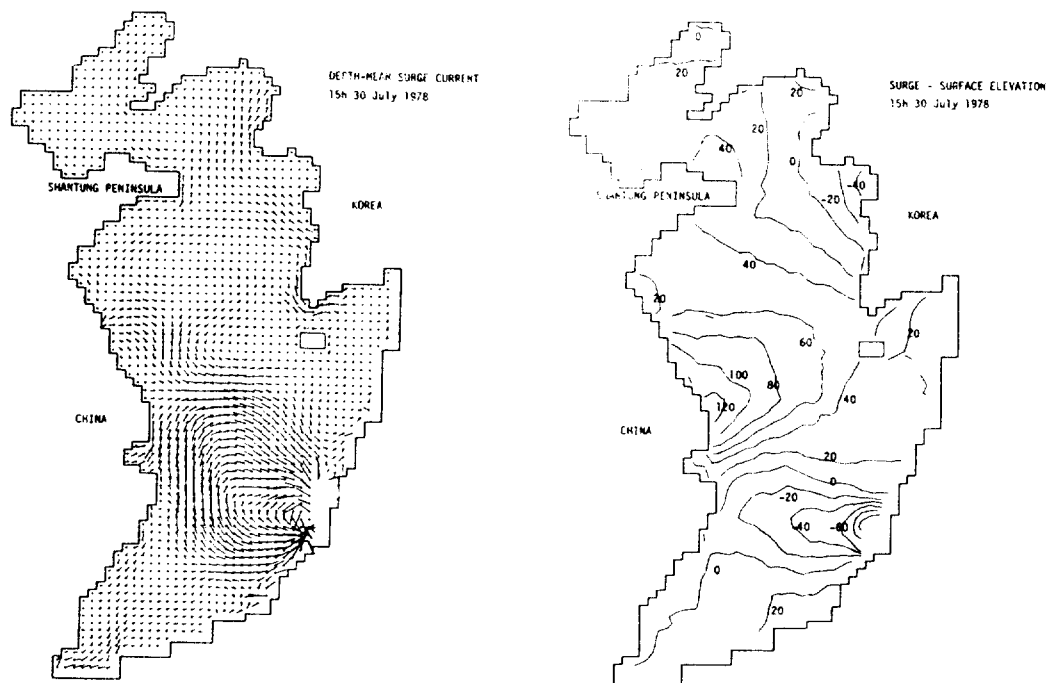


Fig. 8(b)

Fig. 8. Computed surge elevations and currents produced by the Typhoon surges in 1978.

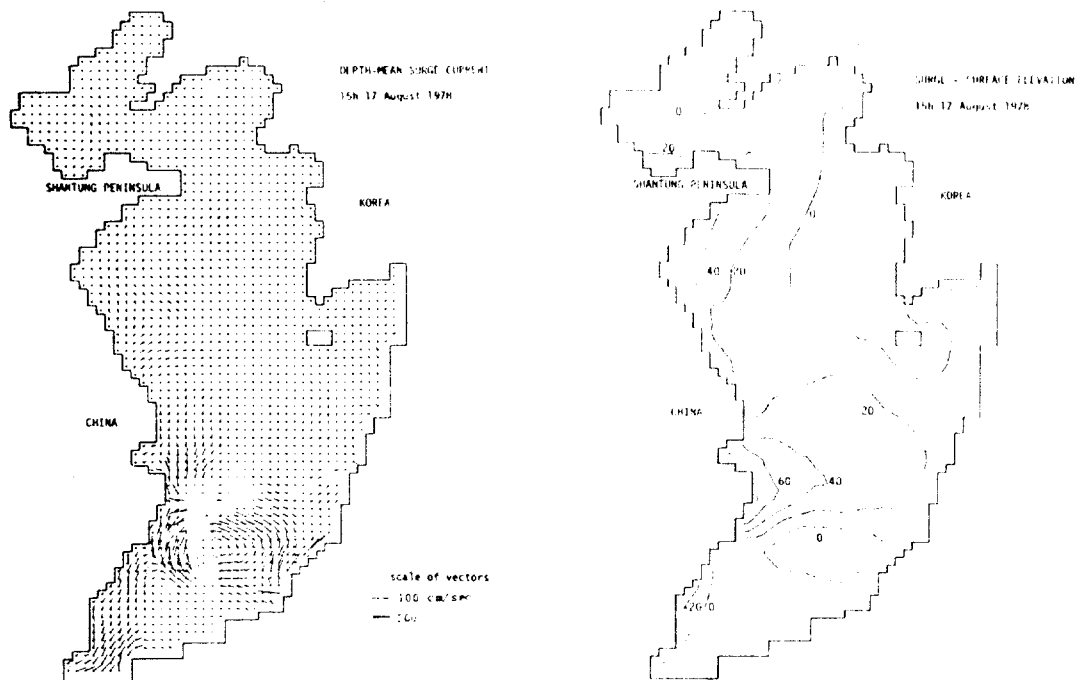


Fig. 8(c)

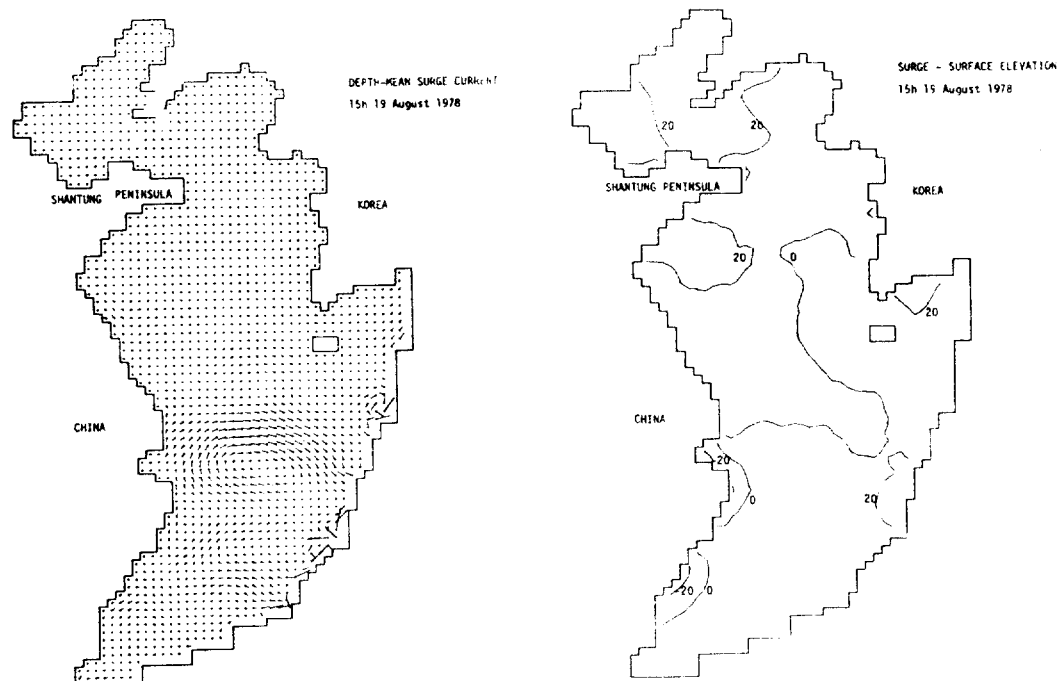


Fig. 8(d)

Fig. 8. Continued.

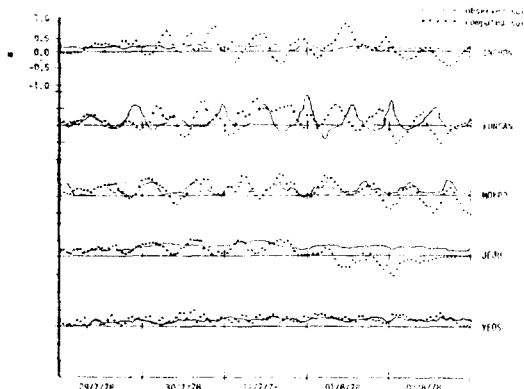


Fig. 9. Comparison of observed and computed surges during the Typhoon Wendy period.

值와類似하게算定되었다. 現在 모델은 颱風의 風域을 모델入力形態로서 短時間에 더 信賴性있게算定하는改善過程이遂行되고 있다. 아마도現在의抽出過程에 모델颱風의 概念(Graham等, 1959)을結合시키는方法이適合할 것으로 생각된다. 算定된 海面 및 海溢高를 徹底히 檢證하기爲해서 中國沿岸의 觀測値를 確保하여統計的誤差評價를遂行하는 일이必要하다. 前回의潮汐모델研究(Choi, 1980)의境界面潮汐入力의 敏感度分析에서 모델內部潮汐算定에 큰影響을 주는境界條件인 $29^{\circ}12'N$, $127^{\circ}12'E$ 와 $31^{\circ}24'N$, $128^{\circ}15'E$ 사이의潮汐入力이陸棚潮位觀測을通해確認,改善되어야 할 것이提示된다.

結 言

前回의一連의研究에서報告되었던東支那海陸棚모델은여러段階의改善을거쳐서本研究에提示된바와같이海溢의hindcast를遂行할수있는段階로進前되었다. 初期結果로서는滿足스러운算定이이루어졌다. 그러나氣象入力資料의改善, 모델全域에걸친觀測海面 및 海流觀測資料에依한徹底한檢證等이繼續遂行되어야할問題로서남아있으며颱風中心圈을더잘解像시킬수있는精密格子體系의모델로서의改善도考慮되어야 할事項이다.

이러한一連의研究는海洋資源開發에依한海洋에서의惠澤側面과더불어海洋에依한自然環境의破壞的要素를輕減시켜야한다는側面에서重要한研究이다.

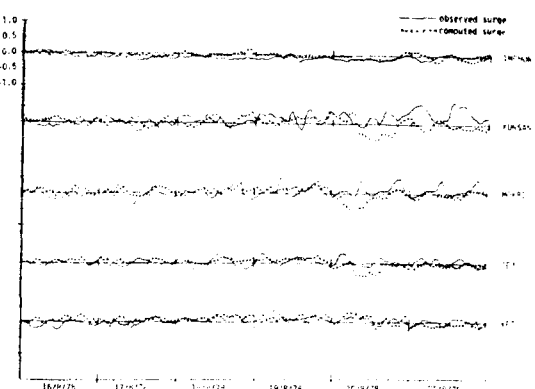


Fig. 10. Comparison of observed and computed surges during the Typhoon Carmen period.

謝 辭

本研究는 1983年度韓國學術振興財團의研究費支援에依해遂行되었다.

參 考 文 獻

- Choi, B.H., 1980. A tidal model of the Yellow Sea and the Eastern China Sea. Korea Ocean Research and Development Ins. (KORDI), Rep. 80-02, 72p.
- Davies, A.M., 1977. A numerical model of the North Sea and its use in choosing locations for the deployment of offshore tide gauges in the JONSDAP'76 oceanographic experiment. Dt. hydrogr. Z., 29, 11-24.
- Duun-Christensen, J.T., 1975. The representation of the surface pressure field in a two-dimensional hydrodynamic numeric model for the North Sea, the Skagerak and the Kattegat. Dt. hydrogr. Z., 28, 97-116.
- Findlater, J. et al., 1966. Surface and 900 mb wind relationships. Scientific papers of the Meteorological Office, London, 23, 41p.
- Flather, R.A., 1976. A tidal model of the North-West European continental shelf. Memoires de la societe Royale des Sciences de Liege, Ser. 6, 10, 141-164.
- Graham, H.H. and D.E. Nuun, 1959. Meteorological considerations pertinent to Standard Project Hurricane, Atlantic and Gulf coast of U.S.A.. U.S. Weather Bureau, N.H.R.P., Rep. 33.
- Hasse, L. and V. Wagner, 1974. On the relation-

- ship between geostrophic and surface wind at sea.
Month. Weather Rev., Wash., 99, 351-383.
- Larsen, L.H. and G.A. Cannon, 1983. Tides in the
East China Sea. Paper presented to Symposium on
Sedimentation on the Continental Shelf, April 1983,
Hangzhou, China.
- Roberts, K.V. and N.O. Weiss, 1967. Convective
difference schemes. Math. Comput., 20, 272-299.
- Wu, J., 1980. Wind stress coefficients over sea surface
near neutral conditions: A revisit. J. Phys. Oceanogr., 10, 727-747.
- Wu, J., 1982. Wind stress coefficients over sea surface
from breeze to Hurricane. J. Geophys. Res., 87,
C12, 9704-9706.
- 韓國測地學會, 1983. 우리나라 精密水準網에 關한 研
究(우리 나라 主要港灣의 平均海面 및 潮位分析).